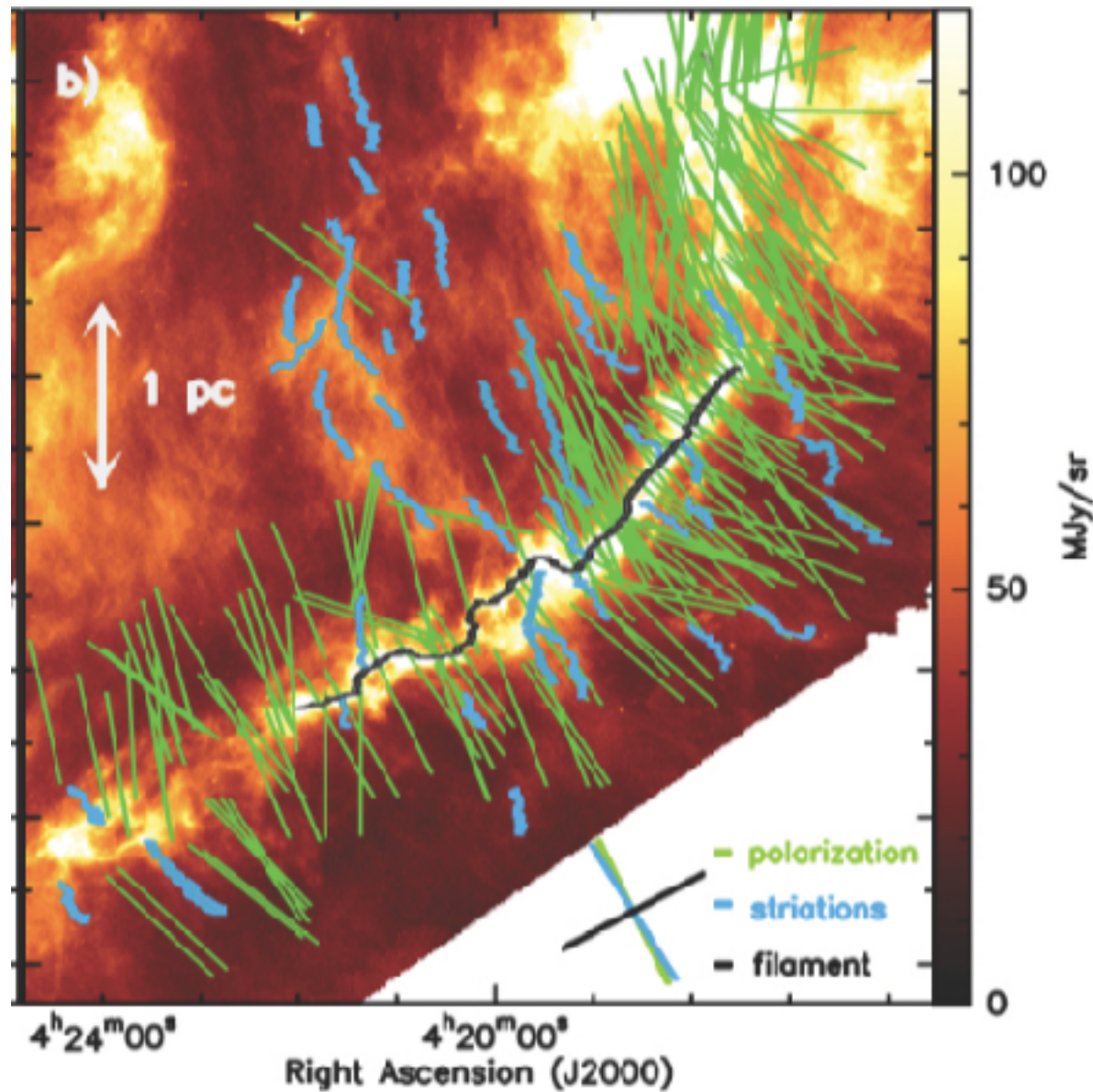
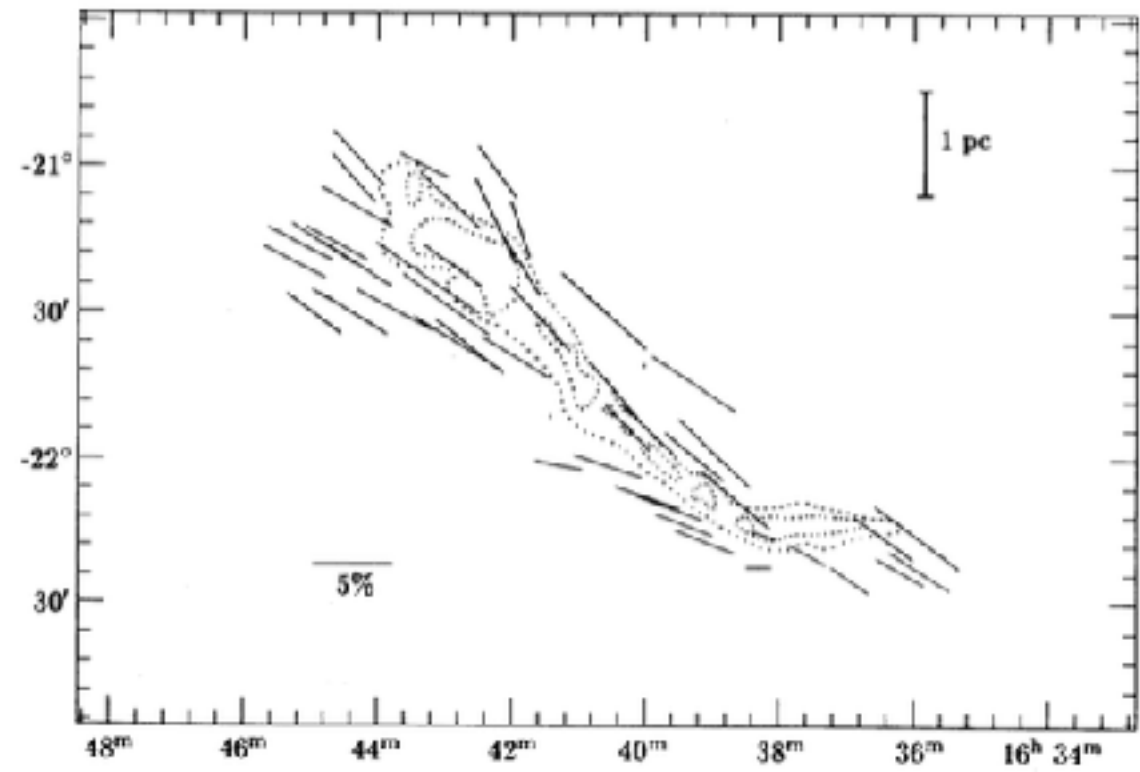


軸に垂直な磁場に貫かれたフィラメント状 分子雲の自己重力不安定



おうし座 Palmeirim+ 13
250 μ m連続波+磁場 (偏光)

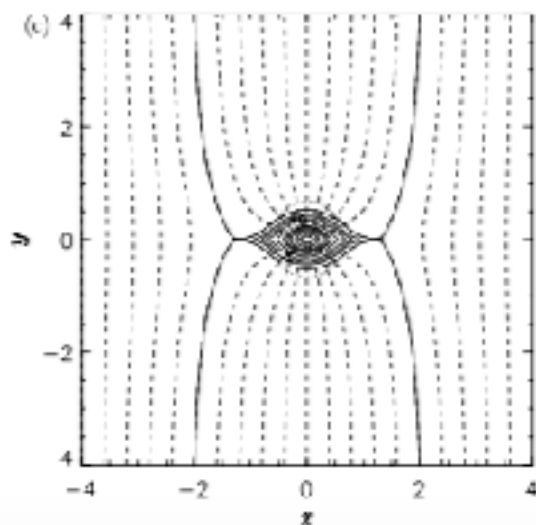
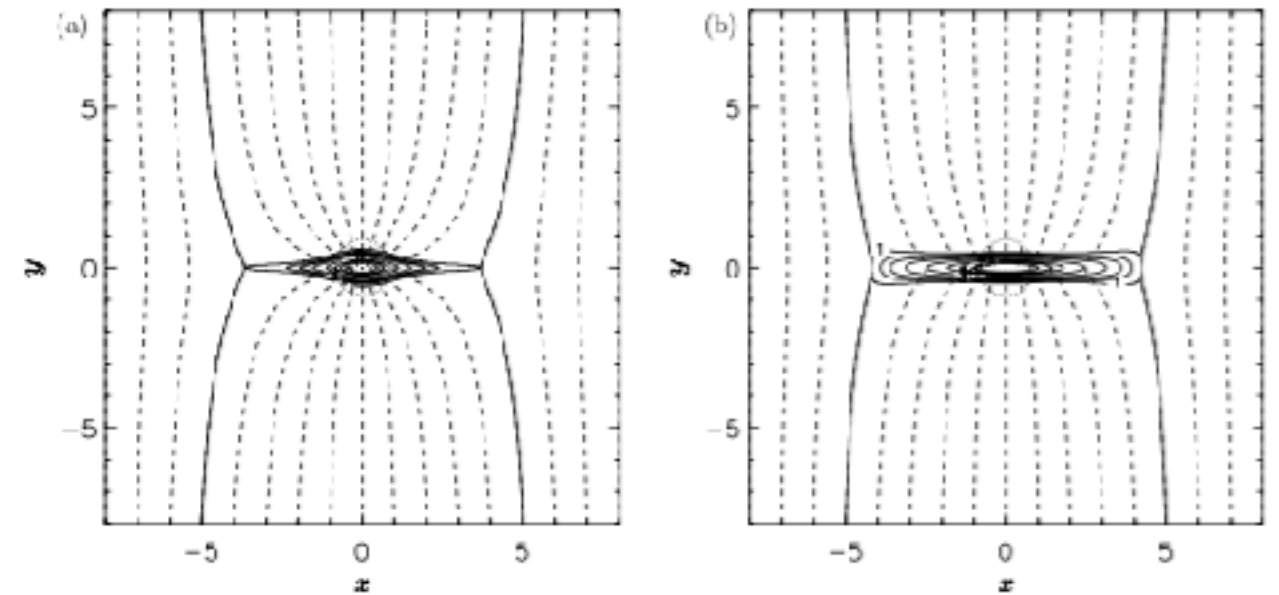
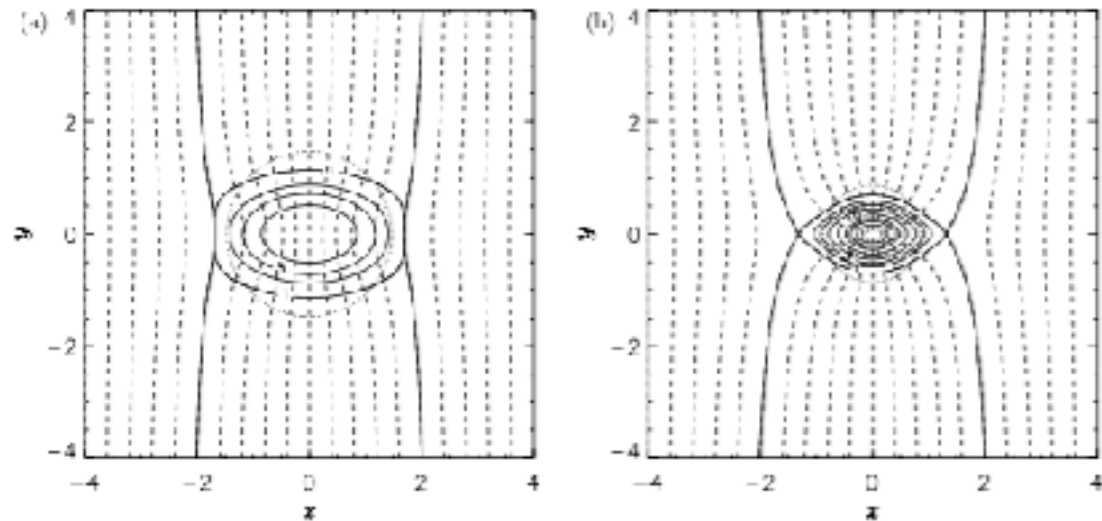
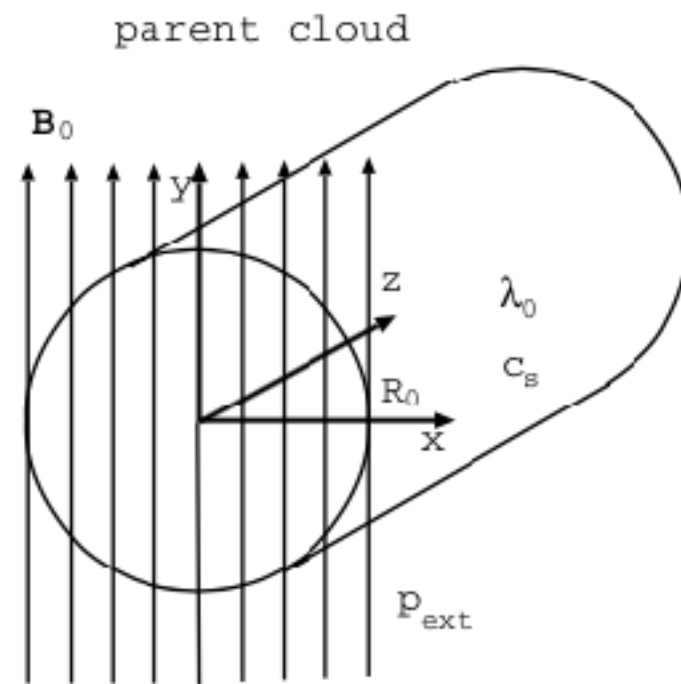


Ophiuchus Goodman+ 90

花輪 知幸 (千葉大学)
工藤 哲洋 (長崎大学)
富阪 幸治 (国立天文台)

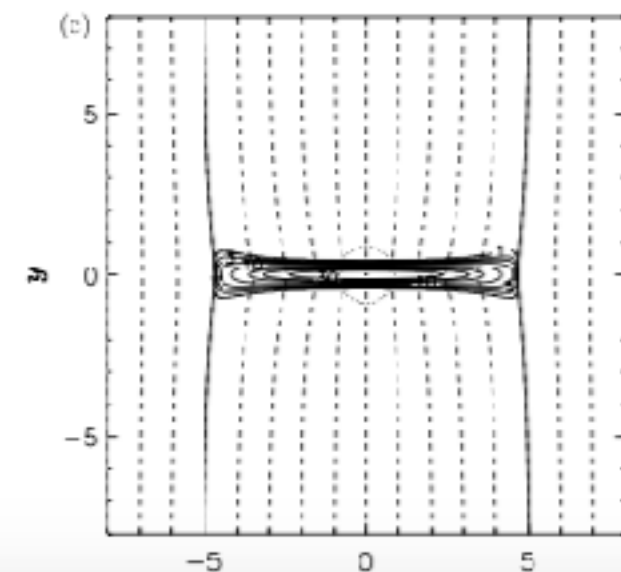
軸に垂直な磁場

Tomisaka 14



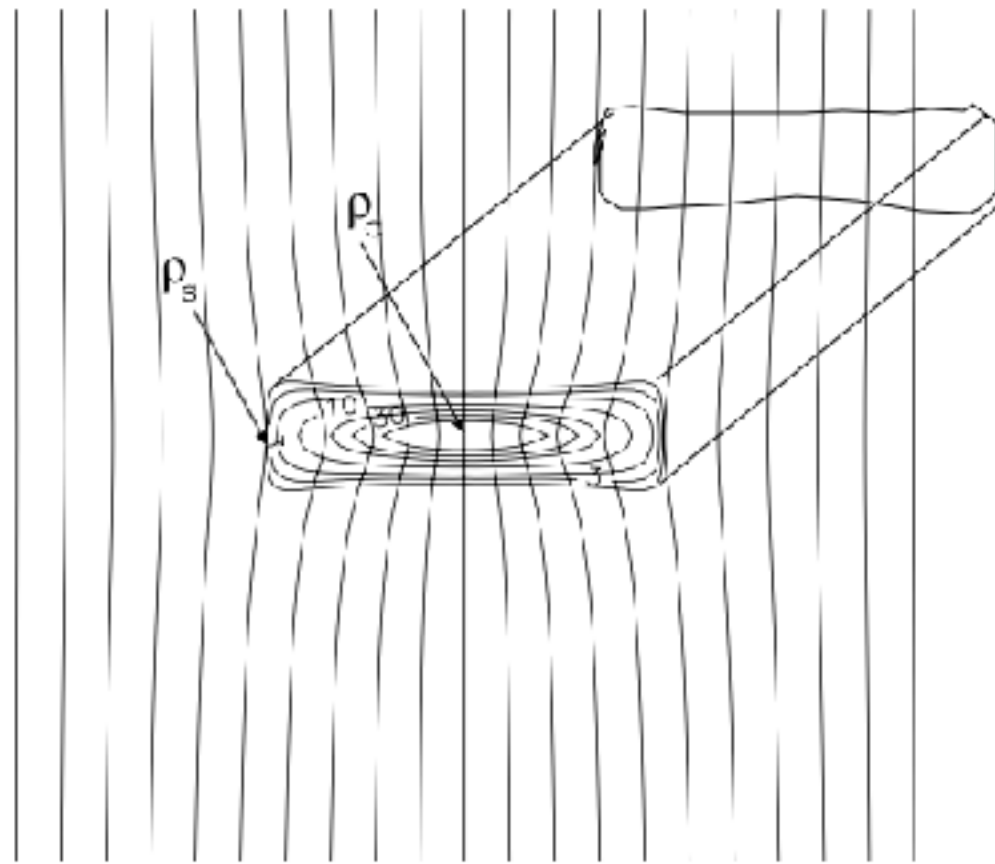
$$\lambda_0 \equiv \pi \rho_0 R_0^2$$

$$\Phi_{cl} \equiv B_0 R_0$$

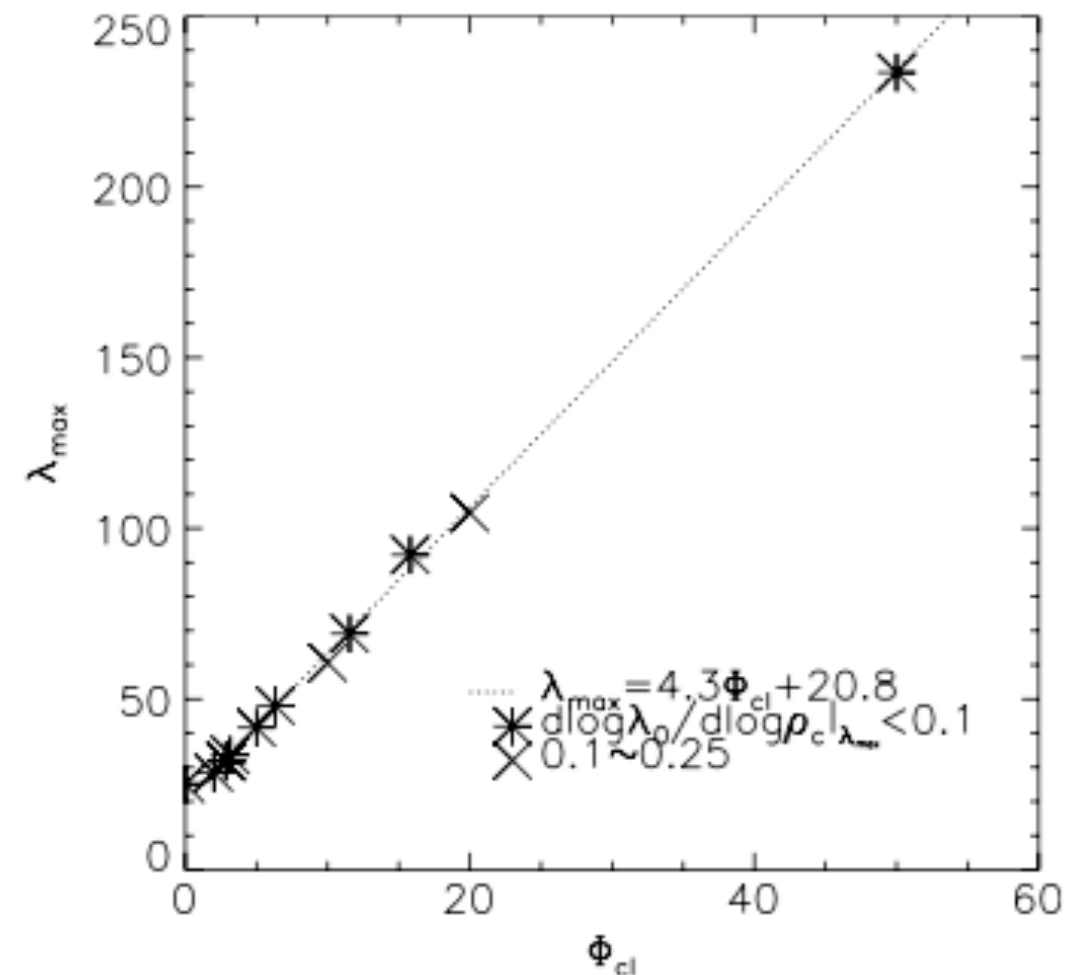


外圧 p_{ext}
音速 c_s

magnetohydrostatic configuration



Tomisaka 14



λ : 単位長さあたりの質量

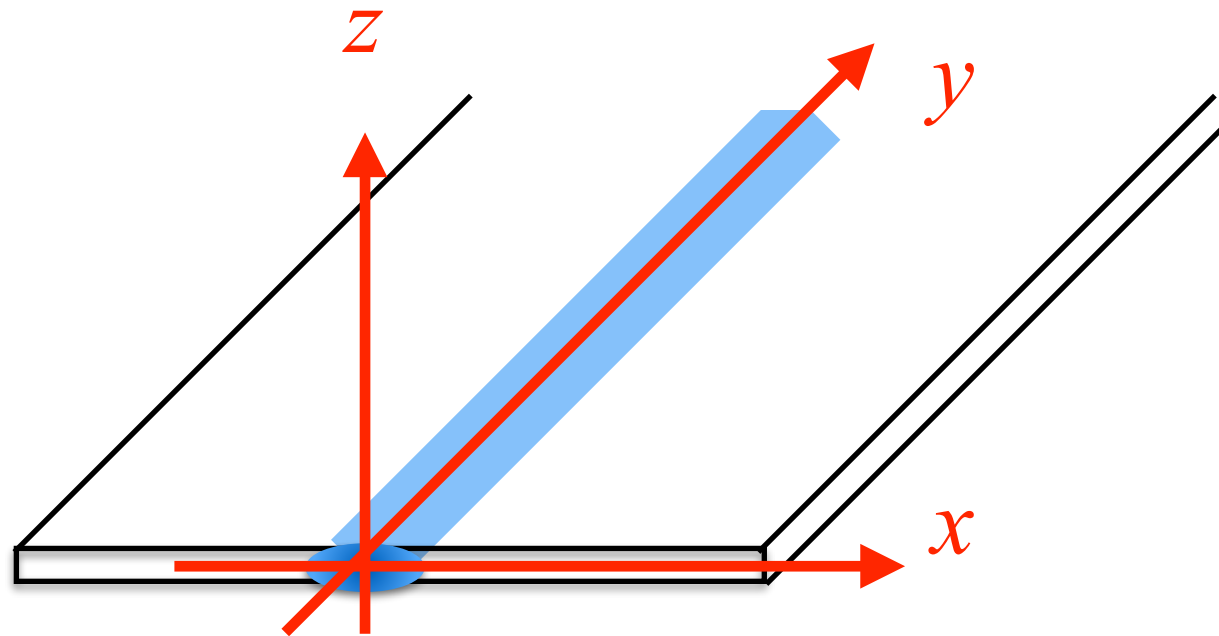
Φ : 単位長さあたりの磁束

支えられるガスの量は磁場に比例

理想磁気流体力学方程式

ガスは温度一定

Thin Disk Approximation (薄いフィラメント)



質量/磁束 が一定の場合

$$\mathbf{B} = \frac{\alpha}{\sqrt{G}} \mathbf{g}$$

$$\rho = \Sigma(x) \delta(z)$$

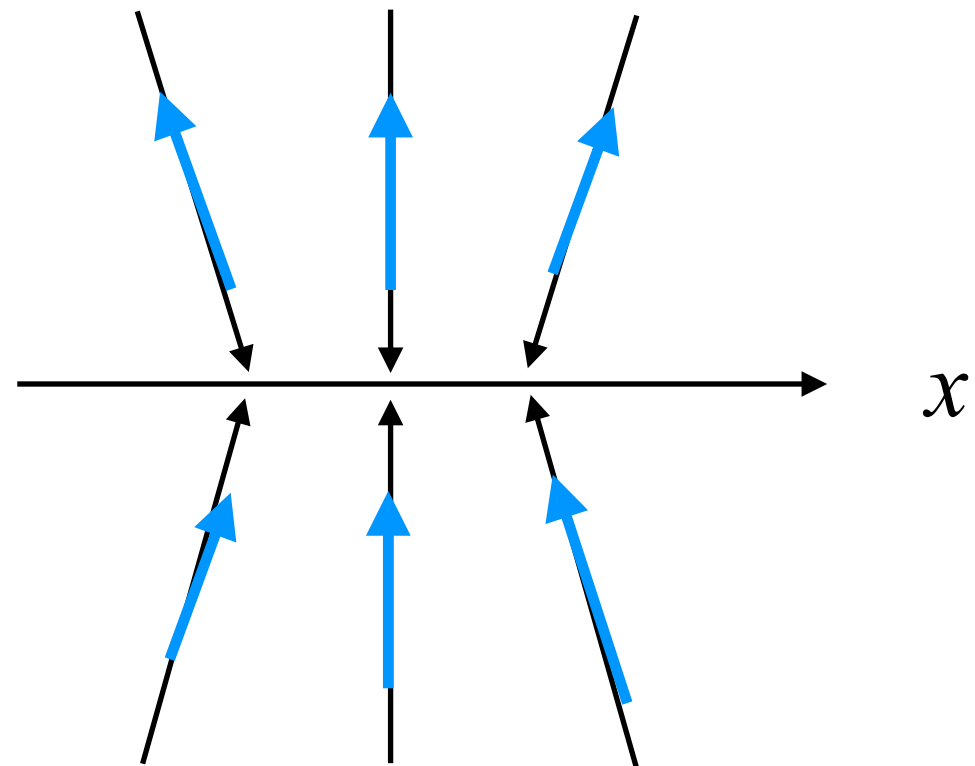
$$\mathbf{j} = J(x) \delta(z) \mathbf{e}_y$$

$$\nabla \cdot \mathbf{g} = 4\pi G \rho$$

$$\nabla \times \mathbf{g} = 0$$

$$\nabla \cdot \mathbf{B} = 0$$

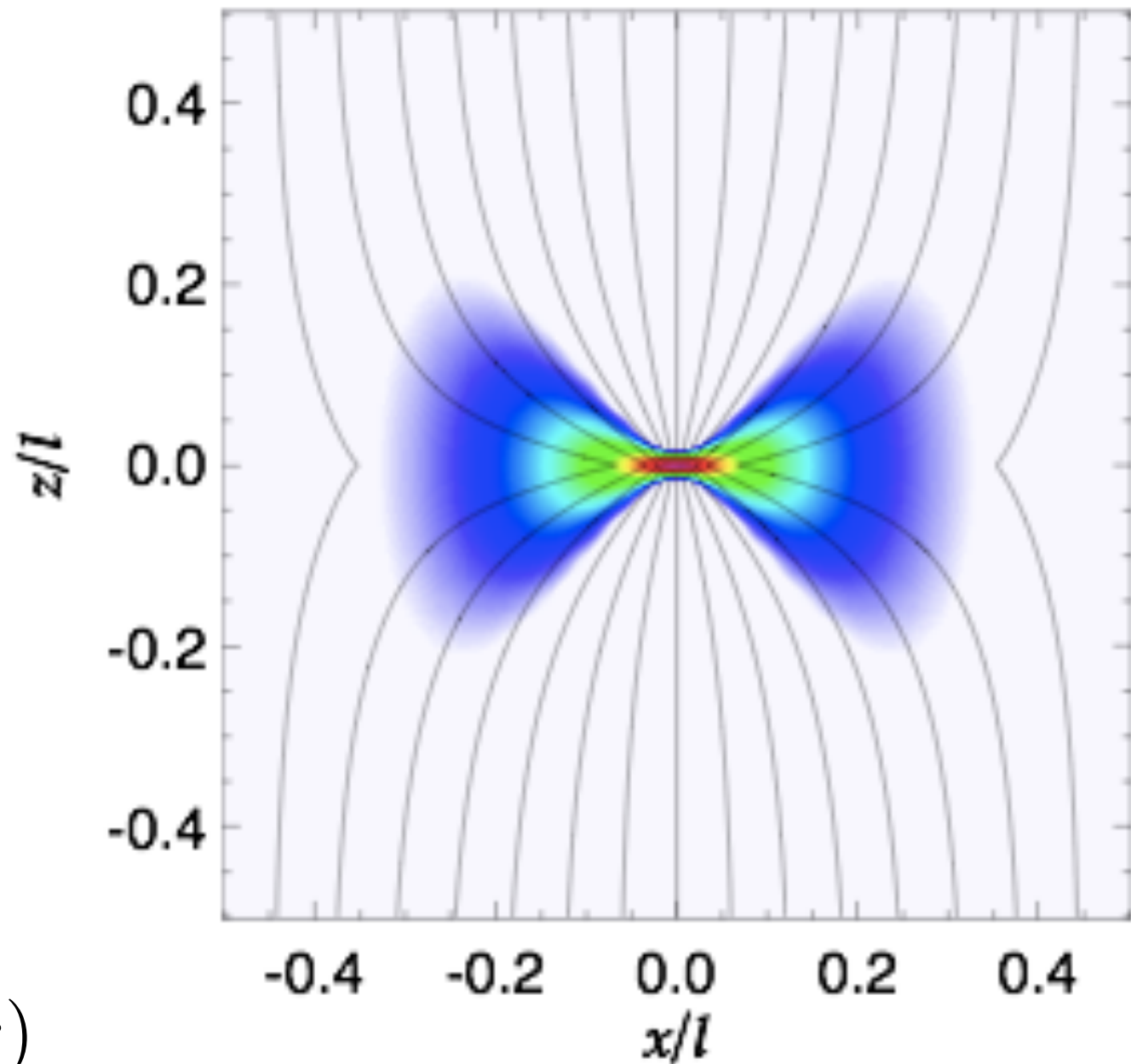
$$\nabla \times \mathbf{B} = \frac{4\pi \mathbf{j}}{c}$$



$$\lambda = \frac{c_s^2}{2G} + \sqrt{\left(\frac{\Phi}{2\pi\sqrt{G}}\right)^2 + \left(\frac{c_s^2}{2G}\right)^2}$$

密度分布と磁力線

$$\begin{aligned}\lambda &= 5 \frac{c_s^2}{G} \\ \Phi &= 10\pi \frac{c_s^2}{\sqrt{G}} \\ &= 2\pi \sqrt{G} \lambda \\ w &= 0.1\end{aligned}$$

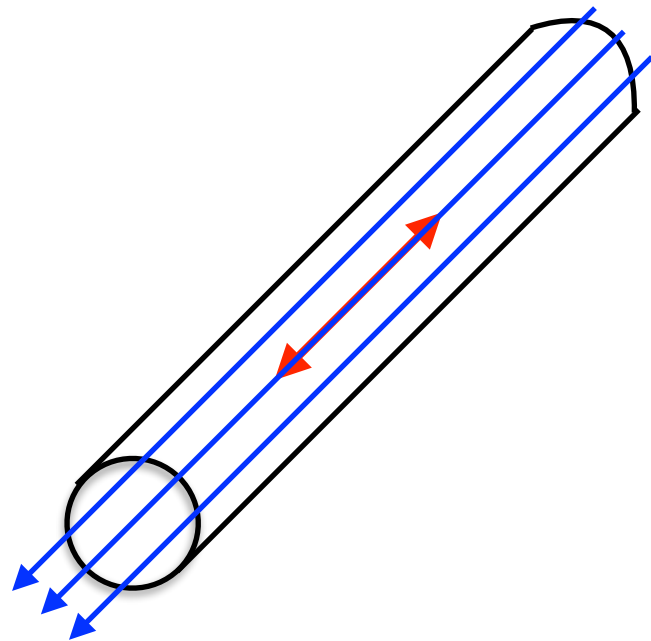


$$\begin{aligned}\rho(x, z) &= \frac{\Sigma(x)}{2H(x) \{ \cosh[z/H(x)] \}^2} \\ H(x) &= \frac{c_s^2}{\pi G \Sigma(x)}\end{aligned}$$

Hanawa & Tomisaka (2015)

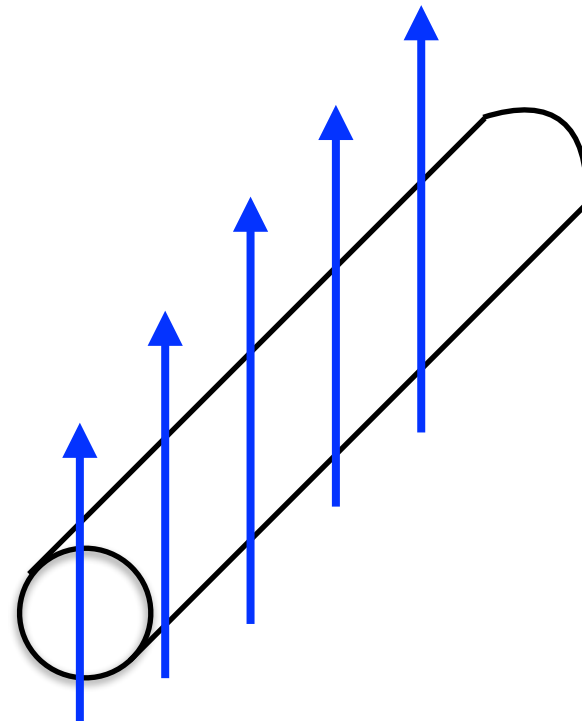
星形成は分裂から

軸方向のゆらぎに対する安定性 (分裂)



cf. Hanawa+ 92

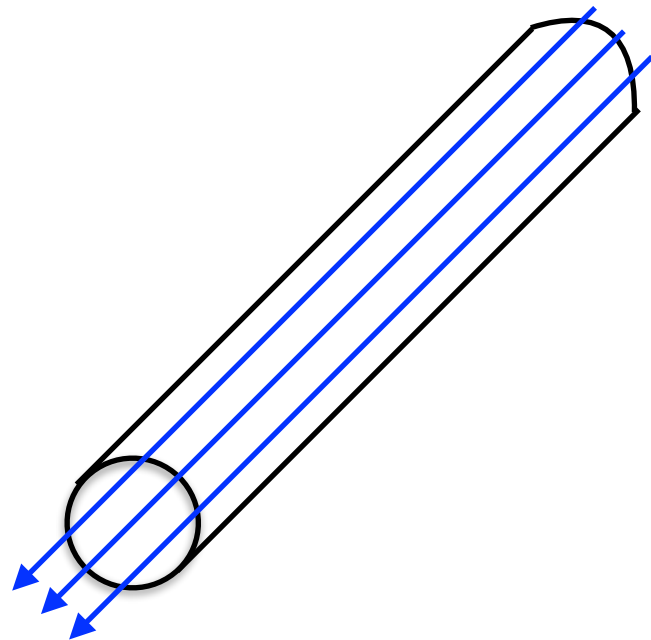
Jeans 長を超すと不安定



?

this work

軸方向に延びた磁場



$$\rho(r) = \rho_0 \left(1 + \frac{r^2}{8H^2} \right)^{-2}$$

$$B_z(r) = B_0 \left(1 + \frac{r^2}{8H^2} \right)^{-1}$$

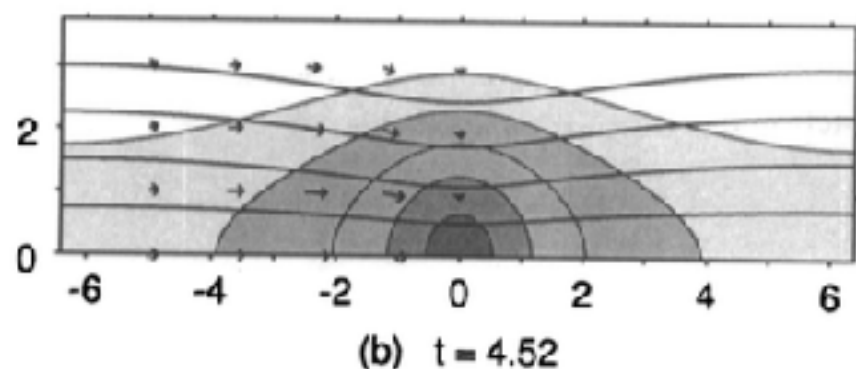
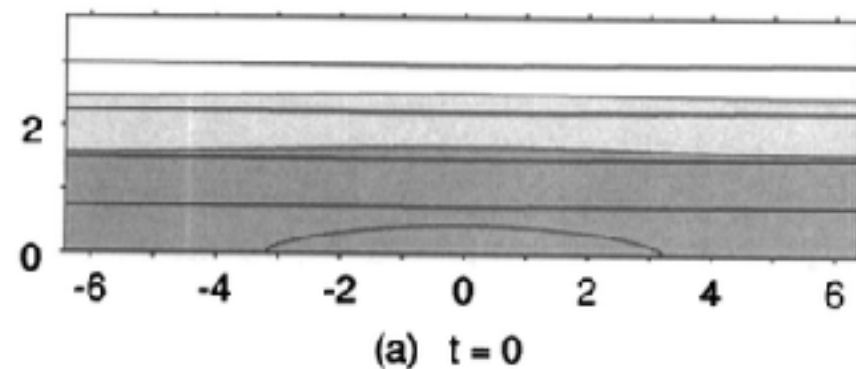
$$4\pi G \rho_0 H^2 = c_s^2 + \frac{B_0^2}{8\pi \rho_0}$$

わずかな磁場でも任意のガスを支えられる。

Stodolkiewicz 63

B_ϕ はフィラメントを絞る

cf. Fiege & Pudritz 00



ただし軸方向には分裂して
不安定 cf. Nakamura+ 93, 95
後述

平衡状態

$$\rho_0 = \rho_c \left(1 + \frac{x^2 + y^2}{8H^2} \right)^{-2},$$

$$H^2 = \frac{c_s^2}{4\pi G \rho_c},$$

$$\mathbf{B}_0 = B_0 \mathbf{e}_x,$$

x : 磁場, z : フィラメント軸

c_s 音速

$$\rho = \rho_0 + e^{\sigma t} \varrho(x, y) \cos kz,$$

$$\boldsymbol{\xi} = e^{\sigma t} (\xi_x \cos kz \mathbf{e}_x + \xi_y \cos kz \mathbf{e}_y + \xi_z \sin kz \mathbf{e}_z),$$

$$\mathbf{B} = \mathbf{B}_0 + e^{\sigma t} (b_x \cos kz \mathbf{e}_x + b_y \cos kz \mathbf{e}_y + b_z \sin kz \mathbf{e}_z),$$

$$\mathbf{J} = e^{\sigma t} (j_x \sin kz \mathbf{e}_x + j_y \sin kz \mathbf{e}_y + j_z \cos kz \mathbf{e}_z),$$

$$\psi = \psi_0 + e^{\sigma t} \delta\psi(x, y)$$

理想MHD方程式

$$\frac{\partial \rho}{\partial t} = -\nabla \cdot (\rho \mathbf{v}),$$

$$\frac{d\mathbf{v}}{dt} = -c_s^2 \nabla \ln \rho - \nabla \psi + \mathbf{j} \times \mathbf{B},$$

$$\frac{\partial \mathbf{B}}{\partial t} = \nabla (\mathbf{v} \times \mathbf{B}),$$

$$\mathbf{j} = \frac{\nabla \times \mathbf{B}}{4\pi},$$

$$\Delta \psi = 4\pi G \rho.$$

数値解法

変位 ξ で全ての摂動を表す

$$\delta \varrho = -\frac{\partial}{\partial x} (\rho_0 \xi_x) - \frac{\partial}{\partial y} (\rho_0 \xi_y) - k \rho_0 \xi_z,$$

$$b_x = -B_0 \left[\frac{\partial}{\partial y} \xi_y(x, y) + k \xi_z \right],$$

$$b_y = B_0 \frac{\partial \xi_y}{\partial x},$$

$$b_z = -B_0 \frac{\partial \xi_z}{\partial x},$$

$$j_x = \frac{1}{4\pi} \left(\frac{\partial b_z}{\partial y} + k b_y \right),$$

$$j_y = -\frac{1}{4\pi} \left(k \delta b_x + \frac{\partial b_z}{\partial x} \right),$$

$$j_z = \frac{1}{4\pi} \left(\frac{\partial b_y}{\partial x} - \frac{\partial b_x}{\partial y} \right).$$

$$\delta \psi(\mathbf{r}) = \int \mathbf{G}(\mathbf{r}, \mathbf{r}') \varrho(\mathbf{r}') d\mathbf{r}'$$

全ての変位は ξ に比例

$$\rho_0 \frac{d^2 \xi}{dt^2} = \mathbf{F}(\xi),$$

$$\rho_0 \sigma^2 \xi = \left(\mathbf{A} + \frac{B_0^2}{4\pi} \mathbf{C} \right) \xi.$$

全ての変位は ξ に比例

一般化された固有値問題

generalized eigenvalue problem

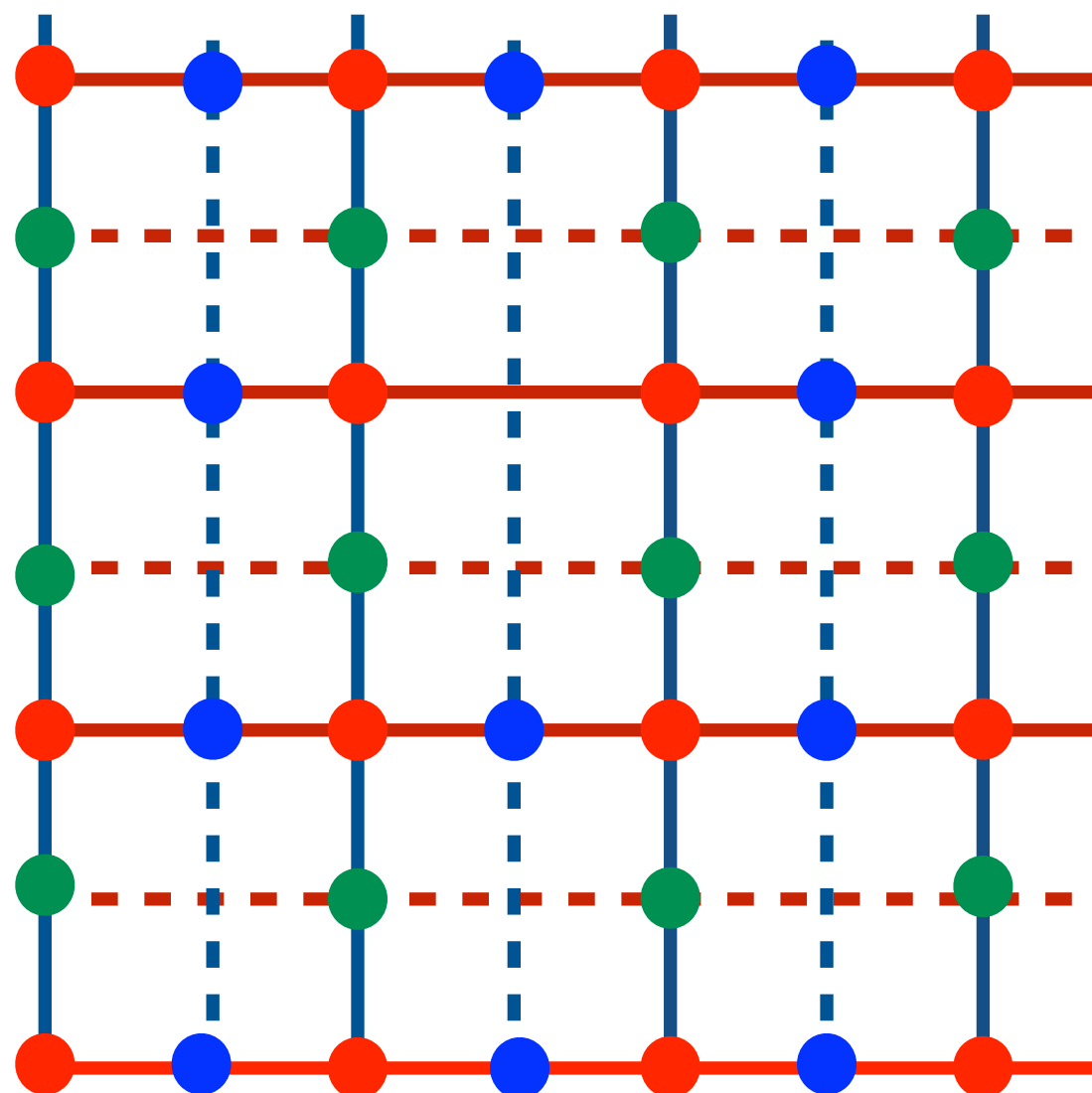
$$\left| \mathbf{A} + \frac{B_0^2}{4\pi} \mathbf{C} - \rho_0 \mathbf{I} \right| = 0$$

LAPACK

数値計算ライブラリー

差分方程式

staggered mesh



● $\xi_z, \varrho, \delta\psi, b_x, j_y$ x, y 対称

● ξ_x, b_z x 反对称, y 対称

● ξ_y, j_z x 対称, y 反对称

$$\varrho_{i,j} = \frac{\rho_{0,i+1/2,j}\xi_{i+1/2,j} - \rho_{0,i-1/2,j}\xi_{i-1/2,j}}{\Delta x} - \frac{\rho_{0,i,j+1/2}\xi_{i,j+1/2} - \rho_{0,i,j-1/2}\xi_{i,j-1/2}}{\Delta y} - k\rho_{0,i,j}\xi_{z,i,j}$$

2 次精度

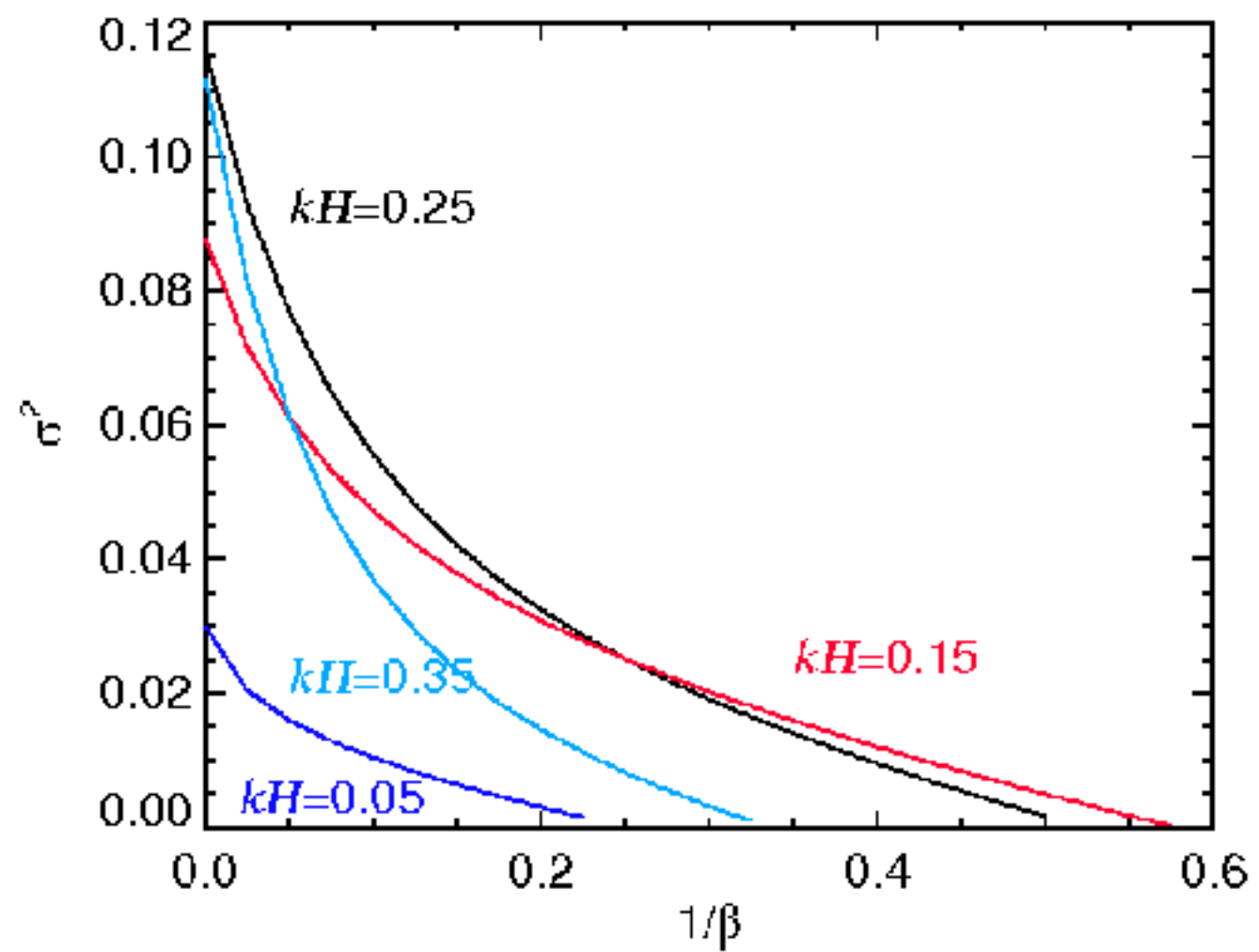
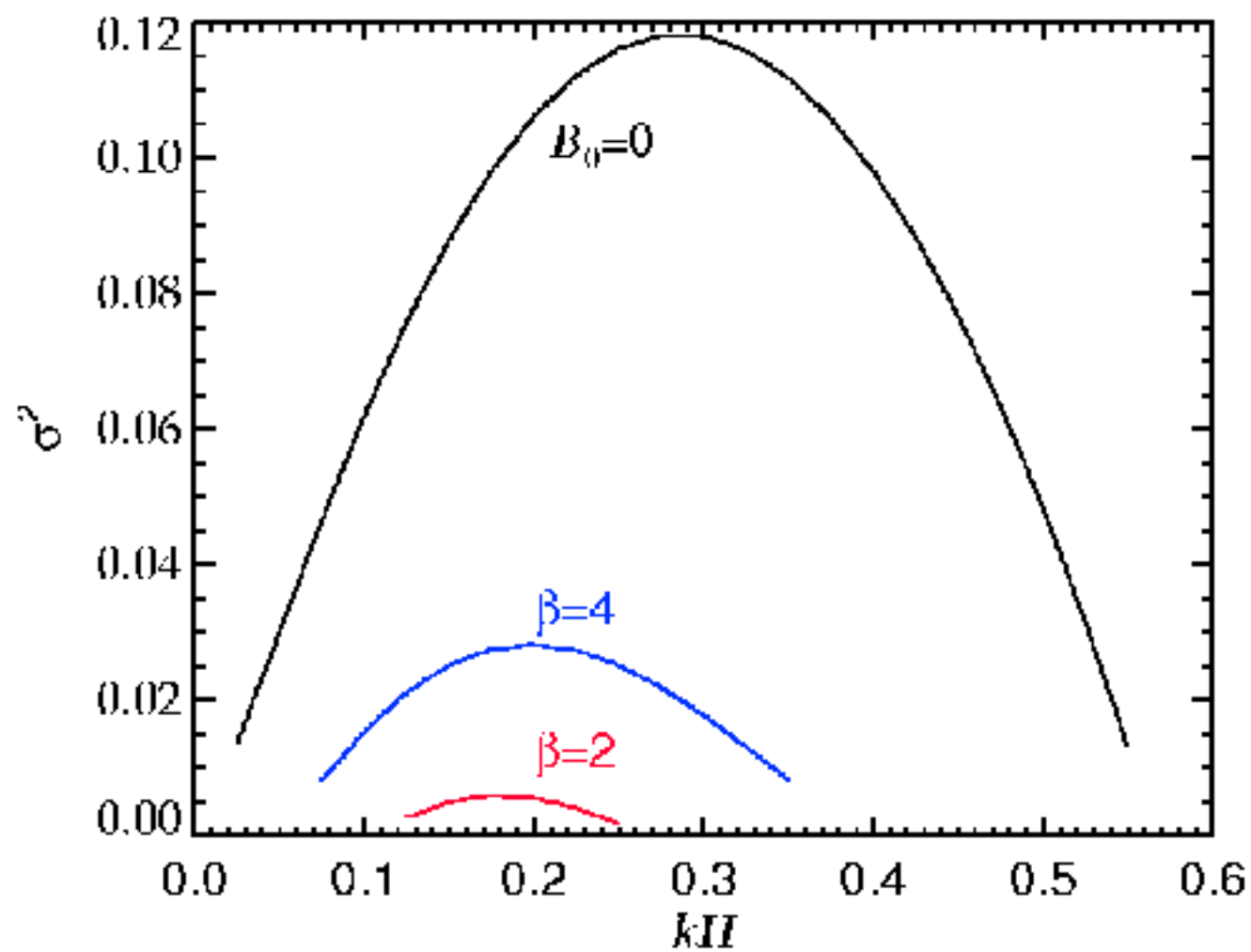
境界条件

$$\xi_x, \xi_y, \xi_z = 0 \quad \text{for } x > n_x \Delta x \text{ or } y > n_y \Delta y$$

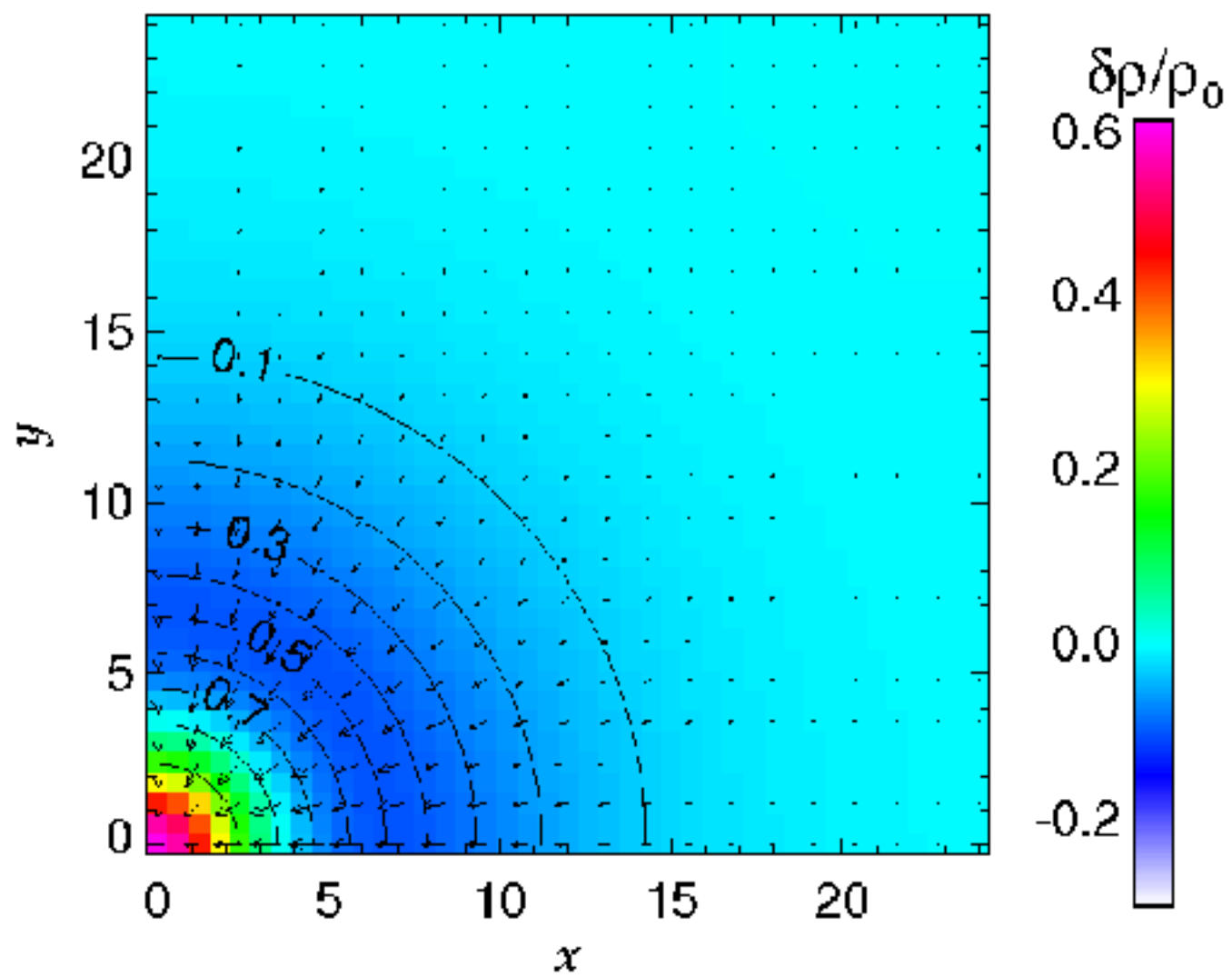
成長率

$$\frac{\sigma^2}{4\pi G\rho_c}$$

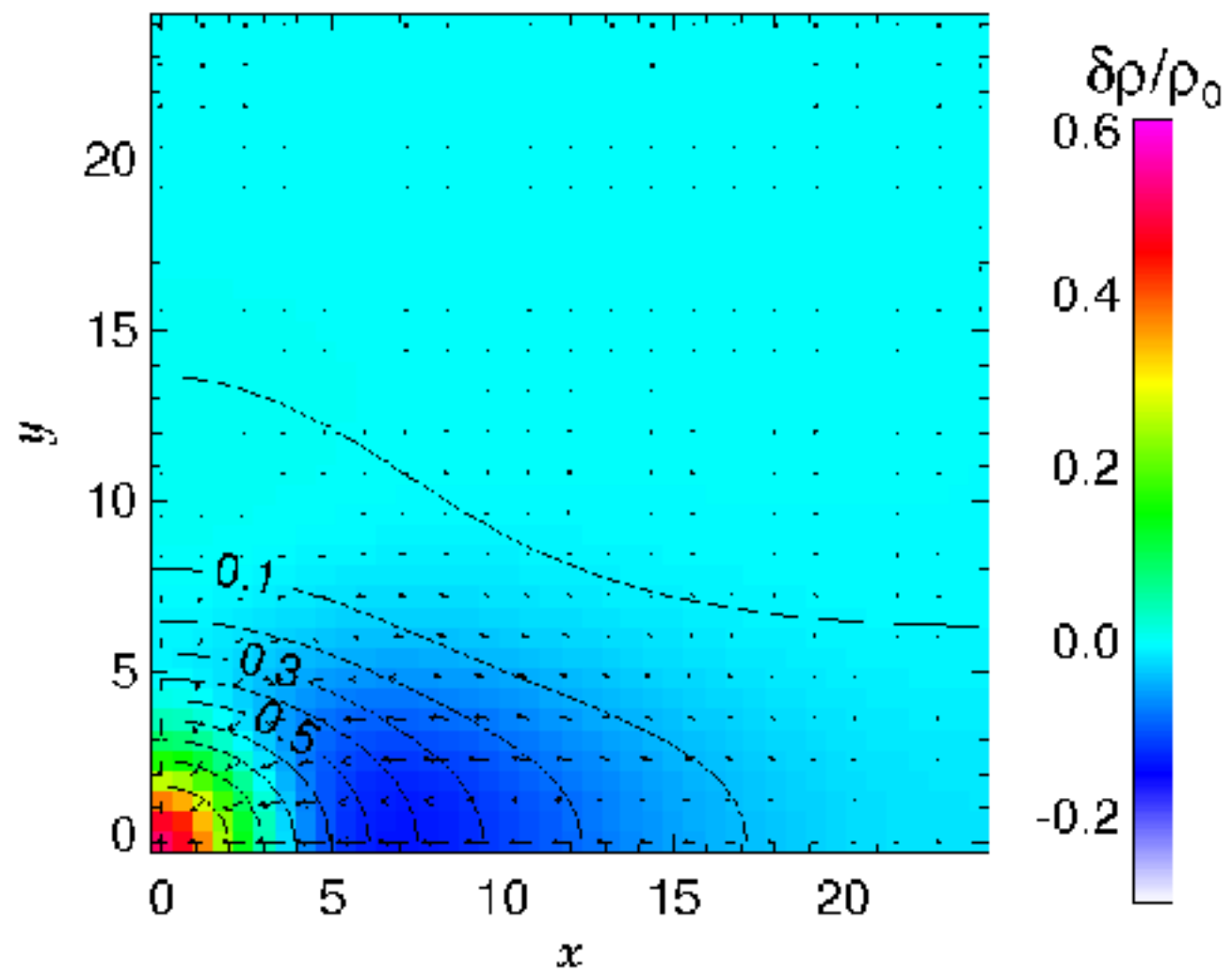
$$\Delta x = \Delta y = 0.6 H,$$
$$n_x = n_y = 40$$



固有関数

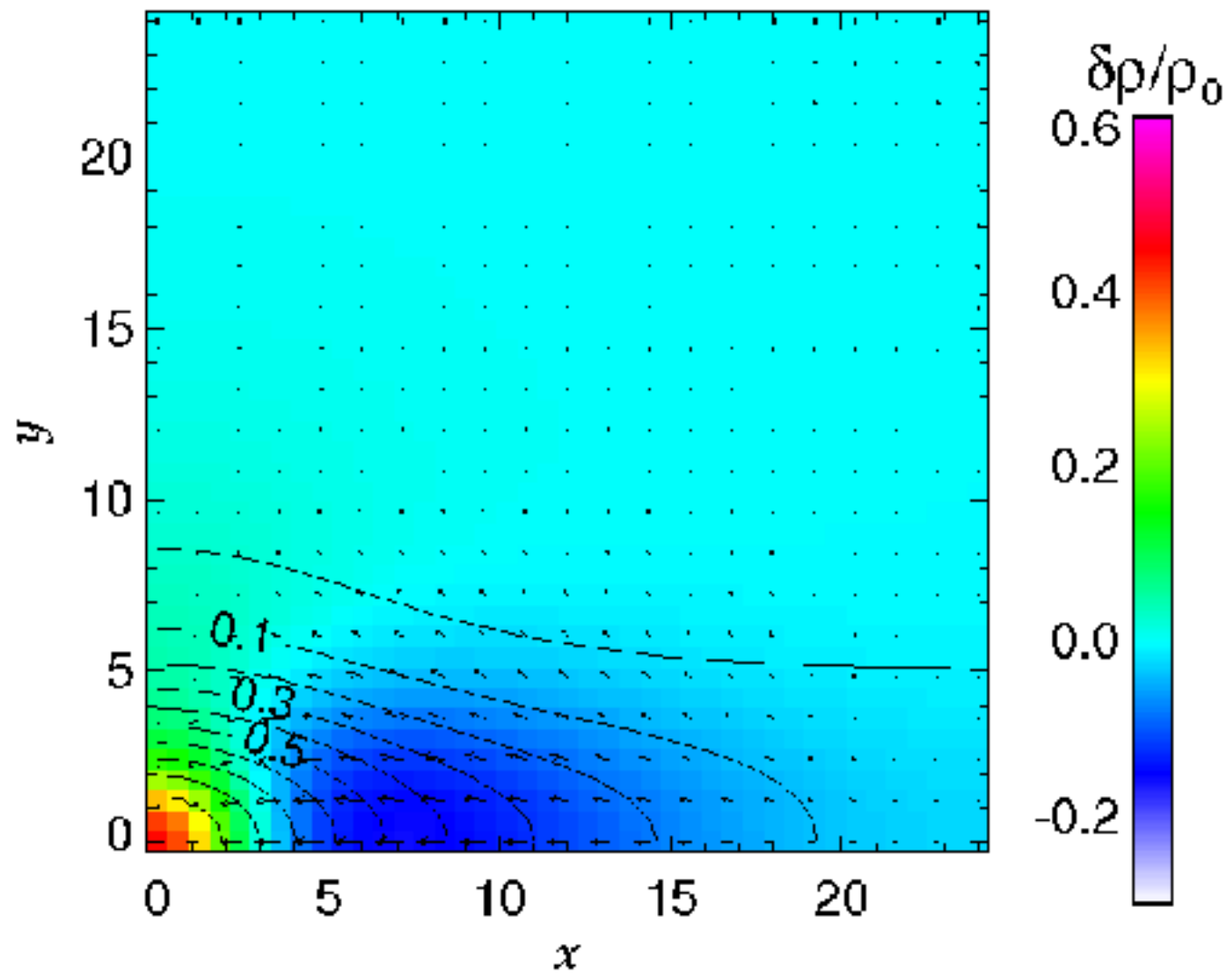


$$1/\beta = 0.0$$

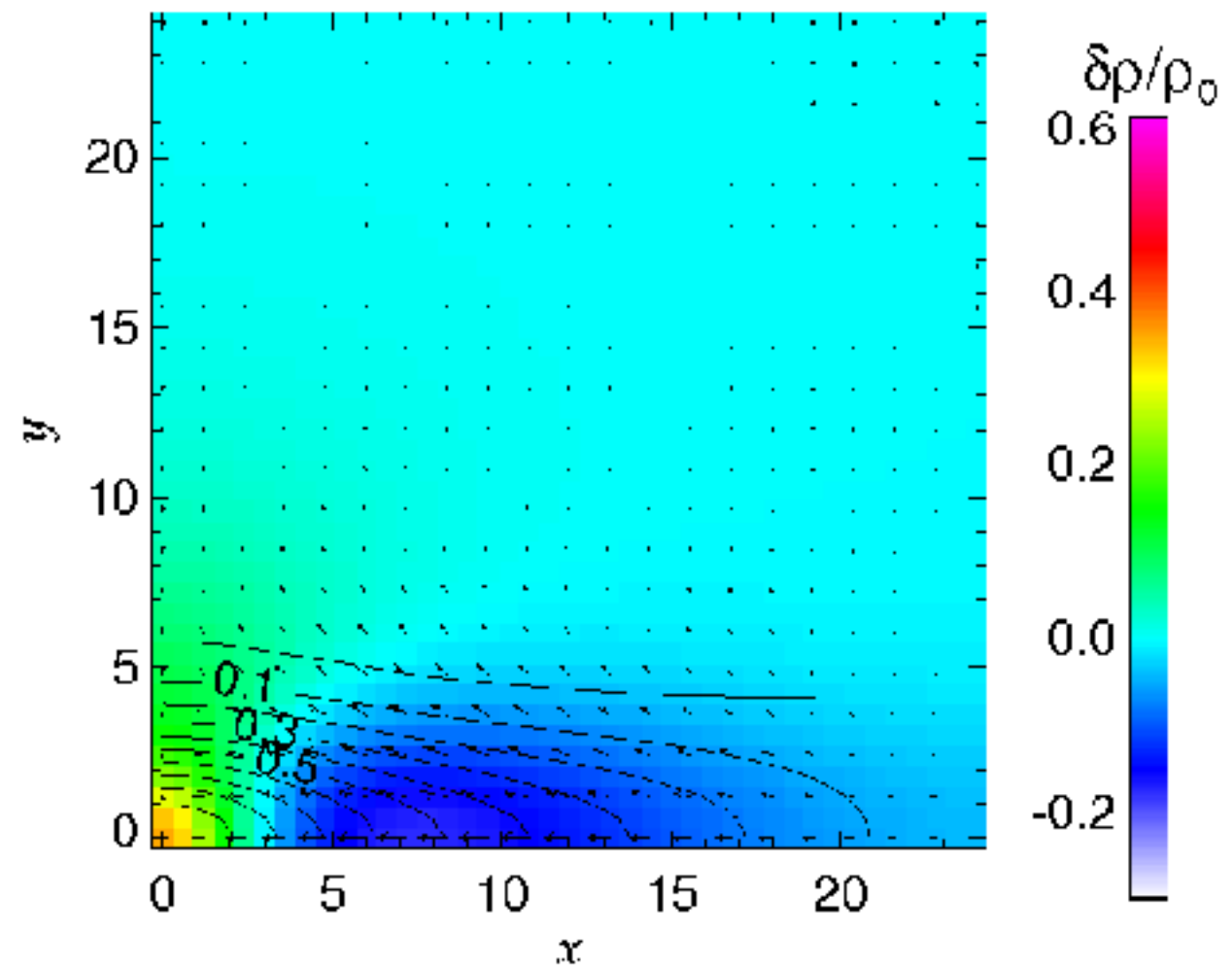


$$1/\beta = 0.03$$

固有関数

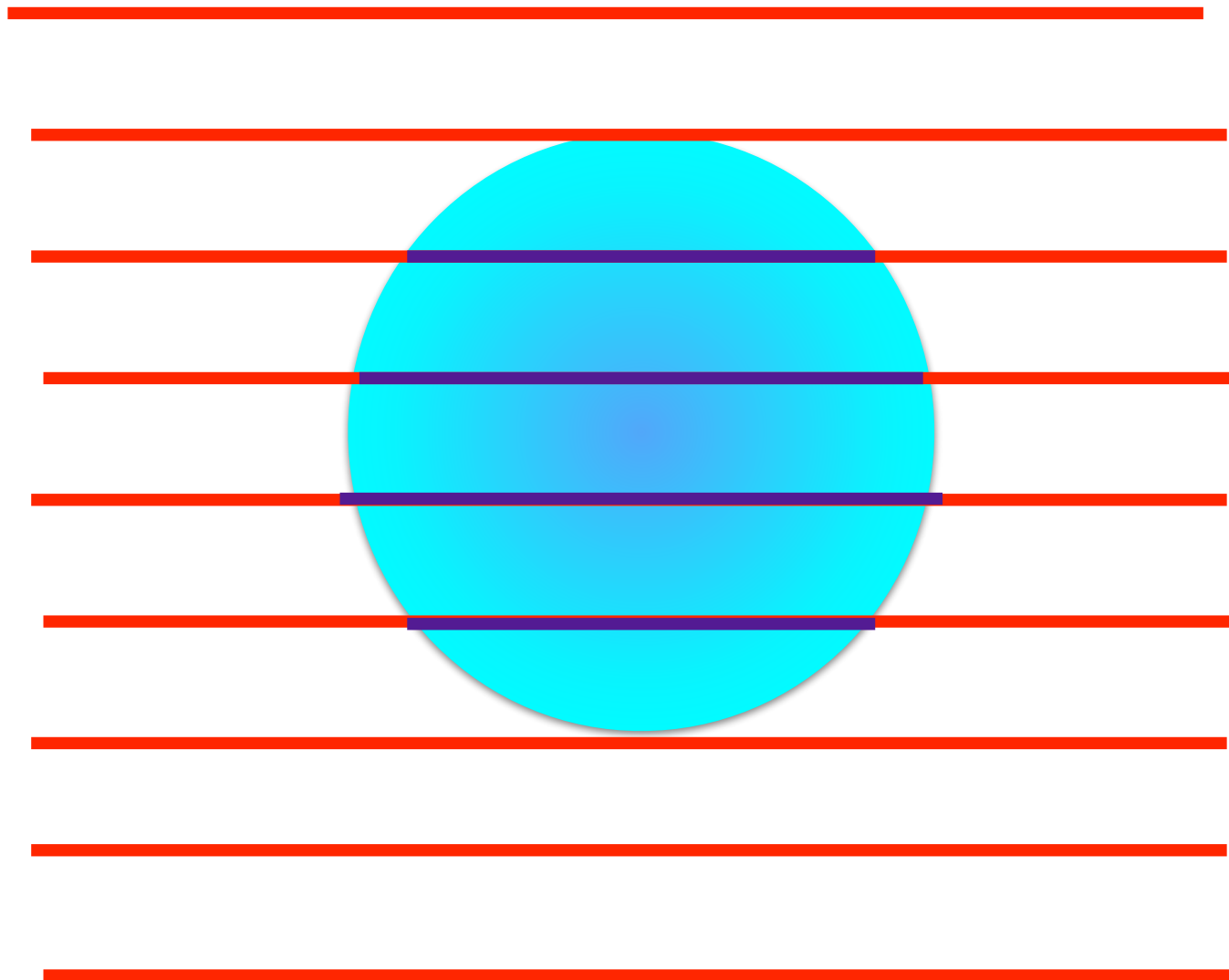


$$1/\beta = 0.06$$



$$1/\beta = 0.125$$

軸付近だけ磁力線が変形



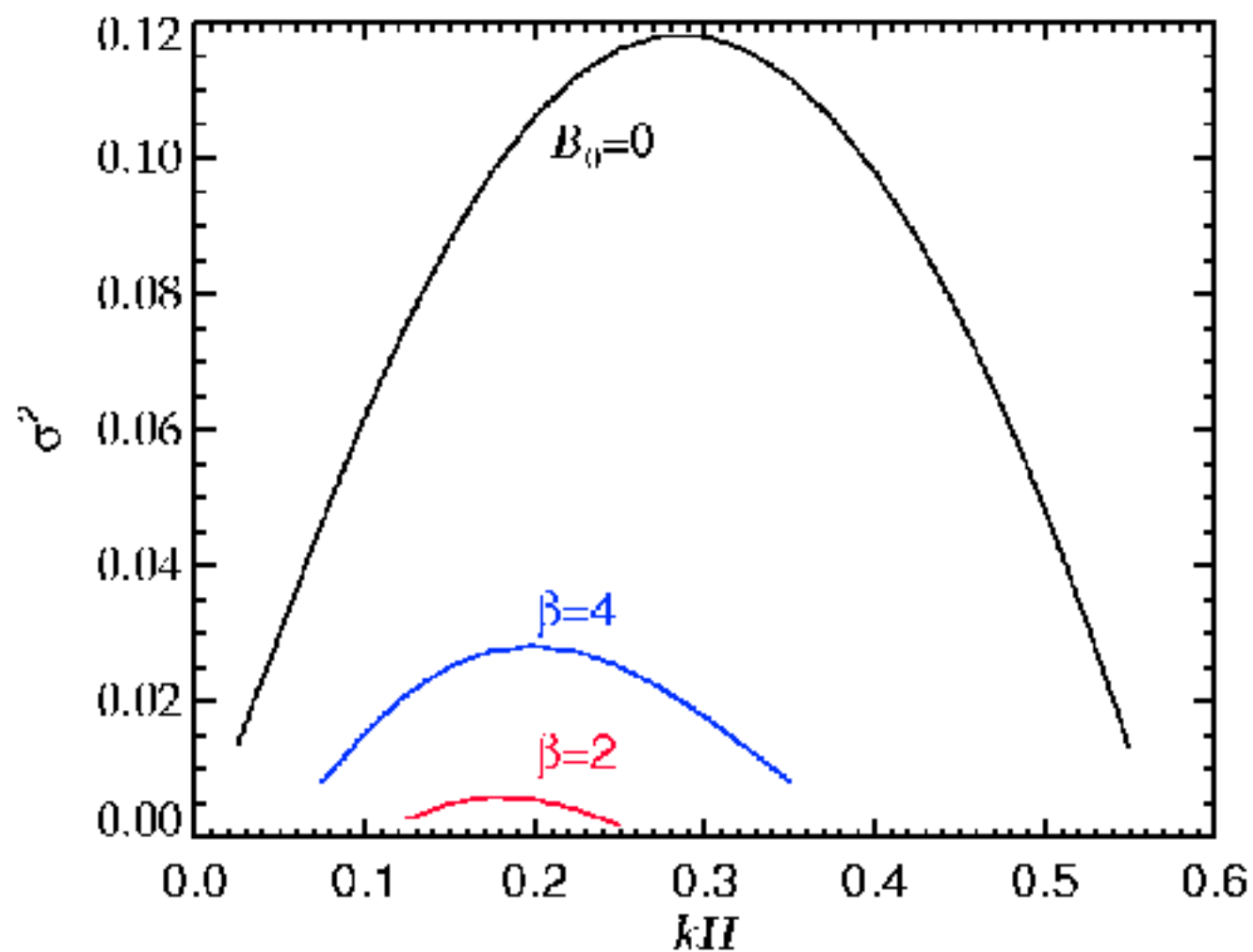
$$\rho_0 c_s^2 > \frac{B_0^2}{8\pi}$$

磁場

成長率 $\frac{\sigma^2}{4\pi G \rho_c}$

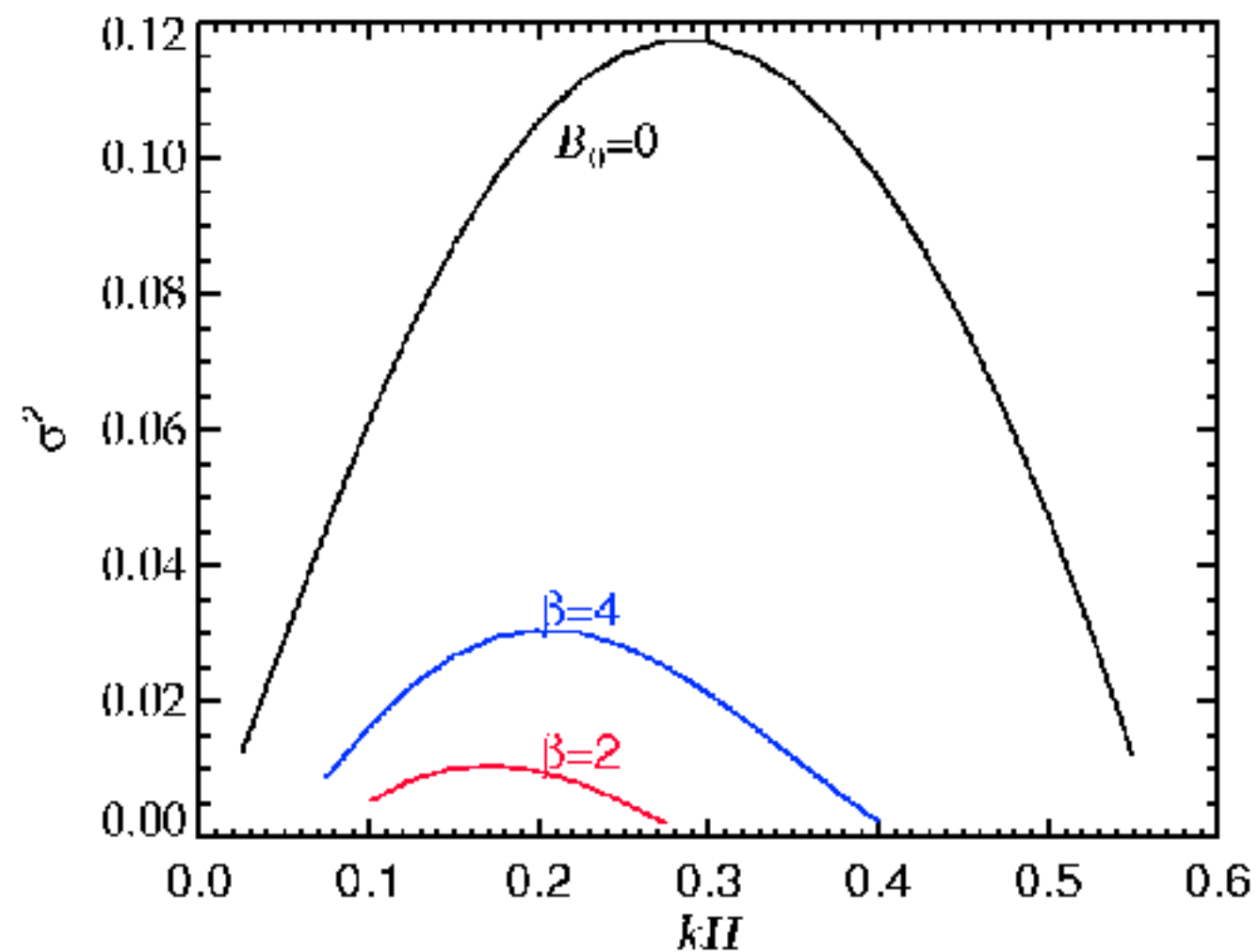
$$\Delta x = \Delta y = 0.6 H,$$

$$n_x = n_y = 40$$



$$\Delta x = \Delta y = 0.4 H,$$

$$n_x = 65, n_y = 30$$



成長率の精度 (磁場なし)

1次元軸対称 (2次精度)

$n=600$ $\Delta r=0.1$ 0.1151472176

$n=300$ $\Delta r=0.2$ 0.1161801426

$n=200$ $\Delta r=0.3$ 0.1179611777

$n=150$ $\Delta r=0.4$ 0.1205771014

$n=120$ $\Delta r=0.5$ 0.1241544326

$n=100$ $\Delta r=0.6$ 0.1288704003

真の値 0.1148

2次元 (x, y)

$n_x = n_y = 40$ $\Delta x = \Delta y = 0.6$ 0.1160591

$n_x = 65, n_y = 30$ $\Delta x = \Delta y = 0.4$ 0.1153353

成長率 σ は実数あるいは純虚数

$$\sigma^2 \rho_0 \boldsymbol{\xi} = -c_s^2 \rho_0 \boldsymbol{\nabla} \left(\frac{\delta \rho}{\rho_0} \right) - \rho_0 \boldsymbol{\nabla} \delta \psi + \delta \mathbf{J} \times \mathbf{B}_0,$$

変分原理

$$\sigma^2 I = W_T + W_G + W_M,$$

$$I = \int_{-\infty}^{+\infty} \int_{-\infty}^{+\infty} \int_0^{2\pi/k} \rho |\boldsymbol{\xi}|^2 dx dy dz,$$

$$W_T = -c_s^2 \int_{-\infty}^{+\infty} \int_{-\infty}^{+\infty} \int_0^{2\pi/k} \rho_0 \boldsymbol{\xi}^* \cdot \boldsymbol{\nabla} \left(\frac{\delta \rho}{\rho_0} \right) dx dy dz,$$

$$W_G = - \int_{-\infty}^{+\infty} \int_{-\infty}^{+\infty} \int_0^{2\pi/k} \rho_0 \boldsymbol{\xi}^* \cdot \boldsymbol{\nabla} \delta \psi dx dy dz,$$

$$W_M = \int_{-\infty}^{+\infty} \int_{-\infty}^{+\infty} \int_0^{2\pi/k} \boldsymbol{\xi}^* \cdot (\delta \mathbf{J} \times \mathbf{B}_0) dx dy dz,$$

$$W_T = c_s^2 \int_{-\infty}^{+\infty} \int_{-\infty}^{+\infty} \int_0^{2\pi/k} \boldsymbol{\nabla} \cdot (\rho_0 \boldsymbol{\xi}^*) \left(\frac{\delta \rho}{\rho_0} \right) dx dy dz$$

$$= -c_s^2 \int_{-\infty}^{+\infty} \int_{-\infty}^{+\infty} \int_0^{2\pi/k} \frac{|\delta \rho|^2}{\rho_0} dx dy dz.$$

$$\begin{aligned}
W_G &= \int_{-\infty}^{+\infty} \int_{-\infty}^{+\infty} \int_0^{2\pi/k} \nabla \cdot (\rho_0 \boldsymbol{\xi}^*) \delta\psi dx dy dz \\
&= - \int_{-\infty}^{+\infty} \int_{-\infty}^{+\infty} \int_0^{2\pi/k} \delta\rho^* \delta\psi dx dy dz \\
&= - \frac{1}{4\pi G} \int_{-\infty}^{+\infty} \int_{-\infty}^{+\infty} \int_0^{2\pi/k} \Delta \delta\psi^* \delta\psi dx dy dz \\
&= \frac{1}{4\pi G} \int_{-\infty}^{+\infty} \int_{-\infty}^{+\infty} \int_0^{2\pi/k} |\nabla \delta\psi|^2 dx dy dz.
\end{aligned}$$

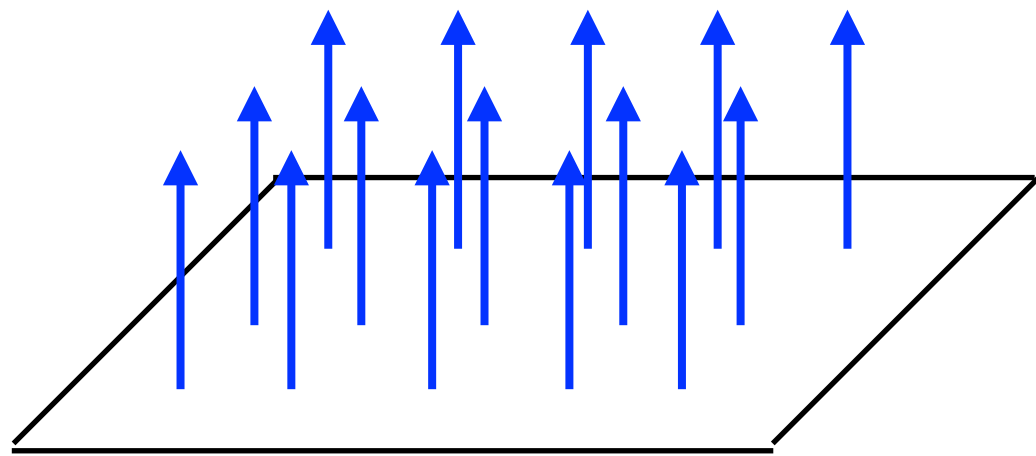
$$\begin{aligned}
W_M &= - \int_{-\infty}^{+\infty} \int_{-\infty}^{+\infty} \int_0^{2\pi/k} \delta\mathbf{J} \cdot (\delta\boldsymbol{\xi}^* \times \mathbf{B}_0) dx dy dz \\
&= - \frac{1}{4\pi} \int_{-\infty}^{+\infty} \int_{-\infty}^{+\infty} \int_0^{2\pi/k} \nabla \times \delta\mathbf{B} \cdot (\delta\boldsymbol{\xi}^* \times \mathbf{B}_0) dx dy dz \\
&= - \frac{1}{4\pi} \int_{-\infty}^{+\infty} \int_{-\infty}^{+\infty} \int_0^{2\pi/k} \delta\mathbf{B} \cdot \nabla \times (\delta\boldsymbol{\xi}^* \times \mathbf{B}_0) dx dy dz \\
&= - \frac{1}{4\pi} \int_{-\infty}^{+\infty} \int_{-\infty}^{+\infty} \int_0^{2\pi/k} |\delta\mathbf{B}|^2 dx dy dz.
\end{aligned}$$

軸方向のゆらぎに対する安定性 (分裂)

ジーンズ波長より長いゆらぎ

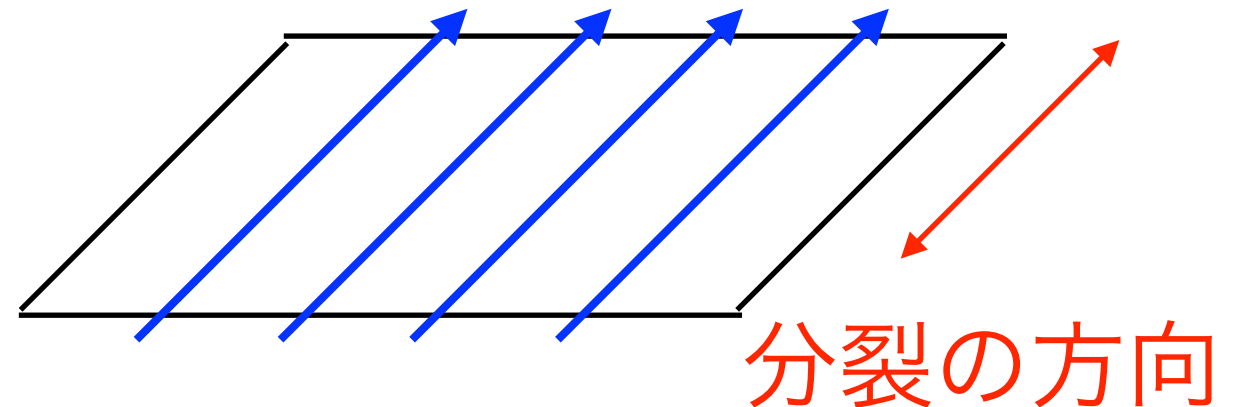
平板の安定性 (Nakano & Nakamura 78, Nakamura+ 91)

$B > 2\pi\sqrt{G\Sigma}$ なら安定



磁場が分裂を抑制

つねに不安定



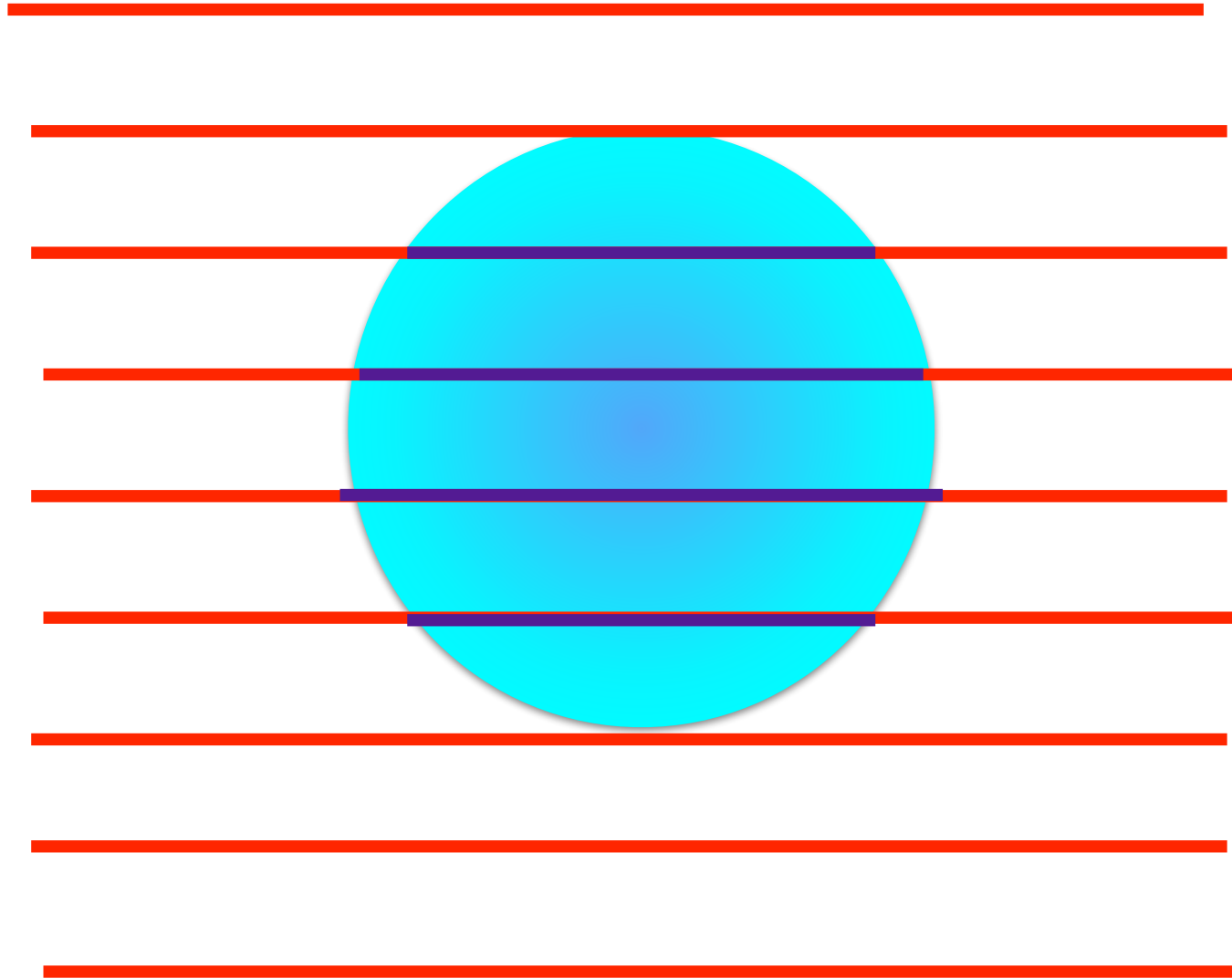
磁気張力のない変形が可能

軸付近だけ磁力線が変形

磁場

$$\Sigma(y) = \int_{-\infty}^{+\infty} \rho_0(x, y) dx$$

$$= \sqrt{2}\pi\rho_c H \left(1 + \frac{y^2}{8H^2}\right)^{-3/2}$$



$$B_{\text{cr}} = 2\pi\sqrt{G}\Sigma$$

$$\frac{B_{\text{cr}}^2}{8\pi} = \frac{\pi^2}{4}\rho_c c_s^2$$

$$\beta_{\text{cr}} = 4/\pi^2$$

まとめ

- 軸に垂直な(一様)磁場は安定化に働く
- プラズマ β が1に近づくと分裂しなくなる
- 弱い磁場でも、フィラメントの周縁では流れを支配する。